

MAC 412A, MAB 412A DVOJITÝ OPERAČNÍ ZESILOVAČ SE VSTUPY JFET

СДВОЕННЫЙ ОПЕРАЦИОННЫЙ УСИЛИТЕЛЬ С ВХОДАМИ JFET • DUAL OPERATIONAL AMPLIFIER WITH JFET INPUTS • DOPPEL-OPERATIONSVERSTÄRKER MIT JFET-EINGÄNGEN

Monolitický dvojitý operační zesilovač se vstupy JFET.

Obvody se vyznačují:

- nízkou vstupní napěťovou nesymetrií
- malým teplotním driftem
- malými vstupními klidovými proudy

Obvody jsou určeny pro konstrukci velmi rychlých integračních obvodů, rychlých D/A převodníků, vzorkovacích zesilovačů apod.

Pouzdro:

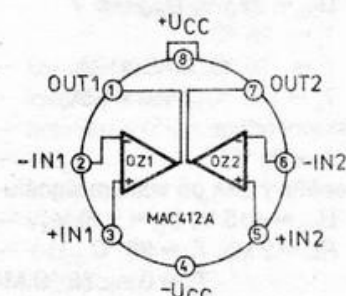
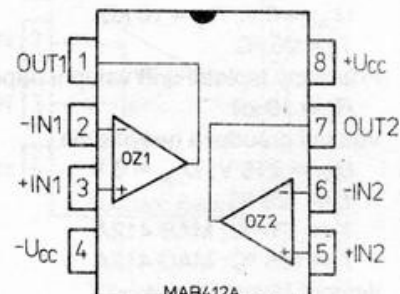
MAC 412A: kovové pouzdro s osmi vývody.

MAB 412A: plastové pouzdro s 2× čtyřmi vývody ve dvou řadách

Zahraniční analog: LF 412AMH

LF 412ACN

National Semiconductor



Zapojení vývodů
(pohled shora)

- | | |
|---|----------------------------------|
| 1 | — výstup prvního OZ |
| 2 | — invertující vstup prvního OZ |
| 3 | — neinvertující vstup prvního OZ |
| 4 | — $-U_{CC}$ |
| 5 | — neinvertující vstup druhého OZ |
| 6 | — invertující vstup druhého OZ |
| 7 | — výstup druhého OZ |
| 8 | — $+U_{CC}$ |

Mezní hodnoty:

			min.	max.	
Napájecí napětí	U_{CC}		± 22	± 22	V
Rozdílové vstupní napětí	U_{ID}		± 38	± 38	V
Rozsah vstupního napětí ¹⁾	U_I		± 19	± 19	V
Doba trvání zkratu na výstupu ²⁾	t	bez omezení			
Výkonová ztráta ³⁾	P_{tot}		670	670	mW
	MAC 412A		500	500	mW
	MAB 412A		150	150	°C
Teplota přechodu	T_j		115	115	°C
	MAC 412A		150	150	°C/W
	MAB 412A		160	160	°C/W
Tepelný odpor	R_{thja}		150	150	°C/W
	MAC 412A		160	160	°C/W
	MAB 412A		115	115	°C
Rozsah pracovní teploty okoli	T_a	—55	+125	+125	°C
	MAC 412A		0	0	°C
	MAB 412A		+70	+70	°C
Rozsah skladovací teploty	T_{stg}	—65	+150	+150	°C

¹⁾ Není-li uvedeno jinak, pak maximální záporné vstupní napětí je rovno zápornému napájecímu napětí.

²⁾ Bez omezení může být zkratován proti zemi výstup pouze jednoho z operačních zesilovačů, neboť jinak by byla překročena mezní teplota přechodu.

³⁾ Při provozu za zvýšené teploty musí být výkonová ztráta omezena podle hodnoty tepelného odporu.

Charakteristické údaje: $U_{CC} = \pm 20 \text{ V}$; MAC 412A: $T_a = -55 \dots +125 \text{ }^\circ\text{C}$ MAB 412A: $T_a = 0 \dots +70 \text{ }^\circ\text{C}$ není-li uvedeno jinak

		nom.	min.–max.	
Statické parametry				
Vstupní napěťová nesymetrie $U_{CM} = 0 \text{ V}$; $R_S = 10 \text{ k}\Omega$ $T_a = 25 \text{ }^\circ\text{C}$	U_{OS}	0,5	$\leq 1,0$	mV
Průměrný teplotní drift vstupní napěťové nesymetrie $R_S = 10 \text{ k}\Omega$	$U_{OS/\Delta T}$	7	≤ 10	$\mu\text{V}/\text{ }^\circ\text{C}$
Vstupní proudová nesymetrie $U_{CC} = \pm 15 \text{ V}$; $U_{CM} = 0 \text{ V}$ $T_i = 25 \text{ }^\circ\text{C}$ $T = 70 \text{ }^\circ\text{C}$; MAB 412A $T = 125 \text{ }^\circ\text{C}$; MAC 412A	I_{OS} I_{OS} I_{OS}	25 ≤ 2 ≤ 25	≤ 100 ≤ 4 ≤ 50	pA nA nA
Vstupní klidový proud $U_{CC} = \pm 15 \text{ V}$; $U_{CM} = 0 \text{ V}$ $T_i = 25 \text{ }^\circ\text{C}$ $T = 70 \text{ }^\circ\text{C}$; MAB 412A $T = 125 \text{ }^\circ\text{C}$; MAC 412A	I_B I_B I_B	50 ≤ 4 ≤ 50	≤ 200 ≤ 4 ≤ 50	pA nA nA
Vstupní odpor $T_i = 25 \text{ }^\circ\text{C}$	R_{IN}	10^{12}		Ω
Napěťový zisk při velkém signálu $U_{CC} = \pm 15 \text{ V}$; $U_O = \pm 10 \text{ V}$ $RL = 2 \text{ k}\Omega$; $T_a = 25 \text{ }^\circ\text{C}$ $T_a = 0 \dots 70 \text{ }^\circ\text{C}$ MAB 412A $T_a = -55 \dots +125 \text{ }^\circ\text{C}$ MAC 412A	A_{VOL} A_{VOL} A_{VOL}	200 200 200	≥ 50 ≥ 50 ≥ 50	V/mV V/mV V/mV
Rozkmit výstupního signálu $U_{CC} = \pm 15 \text{ V}$; $R_L = 10 \text{ k}\Omega$	U_O	$\pm 13,5$	$\geq \pm 12$	V
Rozsah souhlasného vstupního napětí kladného záporného	$+U_{CM}$ $-U_{CM}$	19,5 16,5	≥ 16 ≥ 16	V V
Potlačení souhlasného signálu $R_S \leq 10 \text{ k}\Omega$	CMR	100	≥ 80	dB
Potlačení vlivu změny napájecího napětí	SVR	100	≥ 80	dB
Napájecí proud	I_{CC}	3,6	$\leq 5,6$	mA
Dynamické parametry				
Oddělení kanálů vztaženo na vstup $T_a = 25 \text{ }^\circ\text{C}$, $f = 1 \text{ Hz} \dots 20 \text{ kHz}$		-120		dB
Rychlosť přeběhu $U_{CC} = \pm 15 \text{ V}$; $T_a = 25 \text{ }^\circ\text{C}$	SR	15	≥ 10	$\text{V}/\mu\text{s}$
Šířka pásma $U_{CC} = \pm 15 \text{ V}$; $T_a = 25 \text{ }^\circ\text{C}$	GBW	4	≥ 3	mHz
Spektrální hustota vstupního šumového napěti $T_a = 25 \text{ }^\circ\text{C}$; $R_S = 100 \Omega$ $f = 1 \text{ kHz}$	e_n	25		$\text{nV}/\sqrt{\text{Hz}}$
Spektrální hustota vstupního šumového proudu $T_a = 25 \text{ }^\circ\text{C}$; $f = 1 \text{ kHz}$	i_n	0,01		$\text{pA}/\sqrt{\text{Hz}}$